



مدل‌سازی و شبیه‌سازی رفتار گاز داخل یک روتور سانتریفیوژ گازی در حضور گاز سبک هیدروژن فلوراید با استفاده از روش ترکیبی DSMC و انساگر-پنکیک

مسعود خواجه نوری^۱، سید جابر صفدری^۲، علی حقیقی اصل^{۱*}، علی نوروزی^۳

۱. دانشکده مهندسی شیمی، نفت و گاز، دانشگاه سمنان، صندوق پستی: ۳۶۳-۳۵۱۹۵، سمنان - ایران
۲. پژوهشکده چرخه سوخت هسته‌ای، پژوهشگاه علوم و فنون هسته‌ای، سازمان انرژی اتمی ایران، صندوق پستی: ۸۴۸۶-۱۱۳۶۵، تهران - ایران
۳. شرکت فناوری‌های پیشرفته ایران، سازمان انرژی اتمی، صندوق پستی: ۵۹۳۱-۱۴۳۹۹۵، تهران - ایران
*Email: ahaghighi@semnan.ac.ir

مقاله‌ی پژوهشی

تاریخ دریافت مقاله: ۹۹/۱/۴ تاریخ پذیرش مقاله: ۹۹/۳/۱

چکیده

رفتار گاز در ماشین سانتریفیوژ را می‌توان به دو قسمت مولکولی و پیوسته تقسیم کرد. معادله بولتزمن روشی دقیق برای بررسی رفتار گاز در تمام نواحی ماشین سانتریفیوژ به شمار می‌رود. یکی از روش‌های حل این معادله، روش DSMC می‌باشد. تاکنون چشمه جرمی مورد استفاده در معادله انساگر-پنکیک در ناحیه پیوسته یک چشمه فرضی بوده و پژوهشگران زیادی چشمه‌های جرمی فرضی مختلفی را ارائه داده‌اند. در پژوهش حاضر، شکل رسیدن خوراک به ناحیه پیوسته و اثرگذاری آن در مرز دو ناحیه به صورت چشمه جرمی با روش مستقیم مونت‌کارلو محاسبه شده و با چشمه جرمی فرضی گانزبرگر مقایسه شده است. سپس چشمه جرمی حاصل از حضور گاز سبک هیدروژن فلوراید در خوراک به صورت یک مخلوط دو جزئی ($Z_{HF}=0.03$ و $Z_{UF_6}=0.97$)، ($Z_{HF}=0.07$ و $Z_{UF_6}=0.93$) و ($Z_{HF}=0.1$ و $Z_{UF_6}=0.9$) در مرز دو ناحیه محاسبه شده است. با جای‌گذاری تابع جریان حاصل در معادلات نفوذ انساگر-کوهن، توزیع غلظت در طول روتور محاسبه شده و در نهایت پارامترهای جداسازی و توان جداسازی محاسبه شده است. نتایج نشان می‌دهد که با افزایش مقدار گاز سبک در خوراک ورودی به ماشین فاکتور و توان جداسازی کاهش می‌یابد.

کلیدواژه‌ها: مدل‌سازی، مونت‌کارلو، ناحیه مولکولی، چشمه جرمی

Modeling and simulation of the gas behavior in a gas centrifuge rotor in the presence of hydrogen fluoride light gas by DSMC and Onsager-pancake

M. Khajenoori¹, S.J. Safdari², A. Haghghi Asl^{1*}, A. Norouzi³

1. Faculty of Chemical, Gas and Petroleum Engineering, Semnan University, P.O.Box: 35195-363, Semnan - Iran
2. Nuclear Fuel Cycle Research School, Nuclear Science and Technology Research Institute, AEOL, P.O.Box: 11365-8486, Tehran-Iran
3. Iran Advanced Technologies Company, AEOL, P.O.Box: 143995-5931, Tehran-Iran

Research Article

Received 23.3.2020, Accepted 21.5.2020

Abstract

The gas behavior within a centrifuge machine can be divided into molecular and continuum. The Boltzmann equation is an accurate method for studying the behavior of gas in all areas of a centrifuge. DSMC is one of the methods for solving the Boltzmann equation. In the literature published so far, a presumptive source has been considered the mass source used in the Onsager-Pancake equation in the continuum region. The researchers have presented various presumptive mass sources. In the present work, the feed reaching form to continuum region and its effect on the border between the two areas in the mass source form was calculated using the direct Monte Carlo method. The results were compared with Gunzburger's presumptive mass source. Moreover, the mass source obtained from the presence of hydrogen fluoride light gas in the feed was calculated at the border of two regions as a two-component mixture ($Z_{UF_6}=0.97$, $Z_{HF}=0.03$), ($Z_{UF_6}=0.93$, $Z_{HF}=0.07$) and ($Z_{UF_6}=0.9$, $Z_{HF}=0.1$). The concentration distribution along the rotor was calculated by inserting the obtained flow function into the Onsager-Cohen diffusion equations. Finally, the separation parameters and the separation power were calculated. The results show that the separation factor and the separation power decrease by increasing the light gas amount in the feed entering the machine.

Keywords: Modeling, Monte Carlo, Molecular reign, Mass source



۱. مقدمه

طراحی مجدد سانتریفیوژها برای تحقیقات بنیادی فیزیک، شیمی، روش‌های تشخیص و درمان پزشکی و توسعه مواد جدید، با استفاده از مدل‌های محاسباتی بر مبنای مدل‌سازی جریان داخلی روزبه‌روز در حال افزایش است [۱-۳]. از ابتدای توسعه سانتریفیوژ، روش‌های جایگزینی مانند روش انساکر برای حل معادلات حاکم بر جریان گاز درون لایه استوارتسون^۱ روتور (لایه‌های نازک کنار دیواره روتور که جرم غالب گاز در آن قرار دارد) ارایه شد و سپس با استفاده از معادله پیوستگی جرم و استفاده از روش تقریب میانگین شعاعی، تغییرات غلظت در راستای محوری برای انواع ایزوتوپ‌های گازی توسط کهن حل گردید [۴-۵]. سابرامیر در سال ۱۹۶۱ به منظور ساده‌سازی بیش‌تر، از اثر کپ‌ها به‌طور کامل صرف‌نظر نمود و با فرض این‌که تغییرات جریان در راستای شعاع است، به حل معادلات پرداخت [۶]. اولاندر با مقایسه‌هایی که بین این فرضیات انجام داد، نشان داد که نتایج حاصل، توافق خوبی با یک‌دیگر دارند [۷]. گانزبرگر و وود در سال ۱۹۸۲، با استفاده از روش المان محدود^۲ به حل تقریبی معادله انساکر^۳ همگن پرداختند. این سانتریفیوژ شامل دو جریان ورودی و دو جریان خروجی در دو انتهای کپ‌ها و در خلاف جهت یک‌دیگر بود. حل معادلات انساکر همگن برای دو حالتی که گرادیان دمای خطی دیواره و محرک جریان محوری اعمال شود انجام گرفته است [۸]. گانزبرگر و همکارانش روش حل المان محدود را برای حل تقریبی معادله انساکر-پنکیک^۴ استفاده کردند [۸، ۹]. در سال ۱۹۸۴، روش المان محدود برای حل معادله انساکر-پنکیک با چشمه و چاه^۵ جرمی در یک سانتریفیوژ گازی توسعه داده شد [۱۰]. زینگ و وود در سال ۲۰۱۳ حل میدان جریان در حضور یک چشمه و چاه جرمی را با جزئیات توصیف کرده و با استفاده از روش تحلیلی، معادله انساکر-پنکیک را حل نمودند [۱۱]. مدل انساکر تعمیم‌یافته^۶ برای لایه مرزی شعاعی و مدل کریر و ماسلن^۷ تعمیم‌یافته برای ترکیب مومنتوم زاویه‌ای خوراک گازی برای گاز تک‌جزیی در سال ۲۰۱۱ به‌وسیله پرادهان و همکارانش توسعه یافت [۱۲]. کامران و همکاران در سال ۲۰۱۴ راه‌حل تحلیلی برای معادلات انساکر تعمیم‌یافته برای یک گاز

تک‌جزیی را به دست آوردند [۱۳]. شرایط مرزی بین دو ناحیه گاز رقیق و پیوسته با استفاده از روش شبیه‌سازی مستقیم مونت‌کارلو (DSMC^۸) توسط روبلین و همکارانش در سال ۲۰۰۱ مورد مطالعه قرار گرفت؛ آن‌ها نتیجه گرفتند که معرفی خوراک گازی نقش مهمی در ایجاد جریان‌های ثانویه محوری ایفا می‌کند [۱۴]. وود در سال ۱۹۹۴ سه مدل خوراک گازی را به‌عنوان چشمه جرمی^۹ در یک سانتریفیوژ گازی معرفی کرد [۱۵]. در مدل اول خوراک (F1)، خوراک گازی به عنوان شار جرم شعاعی معرفی شد، در مدل دوم خوراک (F2)، به‌وسیله تابع دلتای دایرک^{۱۰} (δ) معرفی شد و مدل سوم خوراک (F3) با F2 یکسان بود، به‌جز این‌که در این مدل مؤلفه سرعت محوری برابر با سرعت چرخش جسم صلب در نظر گرفته شده بود. برای هر سه مدل خوراک، موقعیت خوراک تقریباً در وسط محور بود. نتایج نشان داد که هر یک از این مدل‌ها مقادیر مشابهی را برای عملکرد جداسازی بهینه در مقدار خوراک یکسان ایجاد می‌کند، اما هر یک از توابع مربوطه (F1، F2 و F3) دارای خطوط جریان مخصوص به خود می‌باشند. این واقعیت موجب تمایز بین عملکرد جداسازی با توجه به نرخ خوراک برای هر مدل خوراک (F1، F2 و F3) شده است. بنابراین محاسبه چشمه جرمی از اهمیت زیادی برخوردار است. هم‌چنین تأثیر خوراک بر عملکرد جداسازی با کار مشابه که توسط راتز، که از مدل بسیار ساده‌تر استفاده کرده بود، مقایسه شده است [۱۵-۱۶]. در حل روش‌های تحلیلی و عددی برای جریان خوراک، مقدار چشمه جرمی (\mathcal{M}) فرضی می‌باشد [۱۰، ۱۱، ۱۵، ۱۶]. از آن‌جایی که چشمه جرمی (\mathcal{M}) از ناحیه رقیق وارد ناحیه پیوسته شده است، بنابراین تحلیل صحیحی از چشمه جرمی وجود ندارد. با پیشرفت سیستم‌های محاسباتی، روش‌های دقیق‌تری هم‌چون روش‌های لاگرانژی مورد استفاده قرار گرفتند. یکی از این روش‌ها، روش شبیه‌سازی مستقیم مونت‌کارلو است که برای شبیه‌سازی جریان‌های گاز رقیق مورد استفاده قرار می‌گیرد. یکی از روش‌های محاسبه چشمه جرمی، استفاده از روش DSMC می‌باشد. برای این کار، مقدار جرم ورودی به ناحیه پیوسته‌ی گاز به‌صورت تابعی از شعاع، ارتفاع و قدرت چشمه در نظر گرفته می‌شود.

در این مقاله چشمه جرمی با روش مستقیم مونت‌کارلو محاسبه شده و با چشمه جرمی فرضی گانزبرگر و همکارانش مورد مقایسه قرار گرفته است. هم‌چنین چشمه جرمی حاصل

1. Stewartson Layer
2. Finite Element
3. Onsager Equation
4. Onsager's Pancake Equation
5. Source and Sink
6. Generalized Onsager Model
7. G.F. Carrier and S.H. Maslen

8. Direct Simulation Monte Carlo

9. Mass Source

10. Dirac Delta Function



Archive of SID

برای انجام محاسبات برخورد در زیرسلول از روش NTC^۲ معرفی شده توسط برد استفاده شده است [۱۷]. احتمال برخورد بین دو مولکول شبیه‌سازی شده در یک بازه زمانی برابر است با:

$$P = F_n \sigma_T C_r \Delta t / V_c \quad (۱)$$

F_n بیان‌گر تعداد مولکول‌های واقعی که توسط یک مولکول مدل جانشین شده است، V_c حجم سلول، σ_T سطح مقطع برخورد کل که تابعی از سرعت نسبی بین دو مولکول است و C_r سرعت نسبی بین دو مولکول می‌باشد. بیش‌ترین احتمال برخورد به‌صورت زیر تعریف می‌شود:

(۲)

$$P_{\max} = F_n (\sigma_T C_r)_{\max} \Delta t / V_c$$

nV_c بیان‌گر متوسط تعداد مولکول‌های واقعی در هر سلول است. بنابراین متوسط تعداد مولکول‌های شبیه‌سازی شده به‌صورت زیر تعریف می‌شود:

$$N = nV_c / F_n \quad (۳)$$

n چگالی عددی گاز واقعی می‌باشد. در روش DSMC تعداد بیشینه جفت‌های انتخاب شده در یک بازه زمانی برابر است با:

$$\cdot \Delta N N F_n (\sigma_T C_r)_{\max} \Delta t / V_c \quad (۴)$$

\bar{N} بیان‌گر متوسط مقدار N است. انتخاب جفت مولکول برخوردکننده با احتمال زیر صورت می‌گیرد:

$$\sigma_T C_r / (\sigma_T C_r)_{\max} \quad (۵)$$

از میان بیشینه جفت‌های ممکن، تنها جفتی انتخاب می‌شود که نسبت بالا برای آن بزرگ‌تر از عدد تصادفی R_f انتخاب شده باشد. شکل ۱ الگوریتم روش DSMC را نشان می‌دهد.

شده از حضور گاز سبک هیدروژن فلوراید در خوراک به‌صورت یک مخلوط دو جزیی ($Z_{HF}=0.03$ و $Z_{UF_6}=0.97$)، ($Z_{HF}=0.93$ و $Z_{UF_6}=0.07$) و ($Z_{HF}=0.07$ و $Z_{UF_6}=0.93$) در مرز دو ناحیه محاسبه شده است. با محاسبه تابع جریان حاصل از معادله انساگر-پنکیک با چشمه جرمی و جای‌گذاری آن در معادله نفوذ اصلاح شده انساگر-کوهن^۱، غلظت UF_6 -۲۳۵ در طول روتور محاسبه شده و پارامترهای جداسازی و توان جداسازی حاصل از حضور مقدار مختلف گازهای سبک هیدروژن فلوراید همراه گاز هگزاfluorاید اورانیم محاسبه شده است. نتایج نشان می‌دهد با افزایش مقدار گاز سبک هیدروژن فلوراید همراه خوراک، پارامترهای جداسازی و توان جداسازی کاهش می‌یابد.

۲. تئوری

۱۰۲ روش مستقیم مونت کارلو در ناحیه رقیق

روش شبیه‌سازی مستقیم مونت کارلو اولین بار توسط برد [۱۷] ارائه شد. در این روش برخورد بین مولکولی و حرکت مولکول‌ها در یک بازه زمانی از هم جدا می‌شوند، به‌طوری‌که این بازه زمانی باید کوچک‌تر از متوسط زمان برخورد مولکول‌ها باشد. سرعت، مختصات مکانی و انرژی درونی هر یک از مولکول‌ها در کامپیوتر ذخیره شده و با حرکت مولکول‌ها در طی زمان تغییر می‌کند. در این روش تعداد زیادی از مولکول‌های مدل به‌منظور شبیه‌سازی مولکول‌های واقعی به کار می‌روند که تعداد آن‌ها به مراتب کم‌تر از مولکول‌های واقعی است. بنابراین هر مولکول مدل، بیان‌گر تعداد زیادی از مولکول‌های واقعی است. در حالت واقعی، مولکول‌ها در حال حرکت با هم برخورد می‌کنند ولی در روش DSMC این فرایند از هم جدا می‌شود. به‌عبارت دیگر، ابتدا حرکت مولکول‌ها در نظر گرفته شده و سپس برخورد آن‌ها به یک‌دیگر صورت پذیرفته است. در این مرحله جهت حرکت و اندازه سرعت مولکول‌ها (ذرات) تغییر می‌کند. در روش DSMC دامنه محاسباتی به تعداد زیادی سلول^۲ و زیرسلول^۳ تقسیم می‌شود. یکی از عوامل مهم برای سرعت بخشیدن به اجرای برنامه با روش DSMC، روشی مناسب برای شبکه‌بندی ذرات و تعیین شماره سلول‌ها به‌وسیله مختصات ذرات است. برای این منظور، برد [۱۷] از شبکه‌بندی کاهشی در جهت شعاع استفاده کرده است.

1. Onsager-Cohen Solution Method
2. Cell
3. Subcell

4. Non Time Counter



در رابطه فوق M چشمه یا چاه جرمی، X پتانسیل مستر، که رابطه آن با تابع جریان Ψ به صورت $\Psi = 2A^T X x$ تعریف شده است، x شعاع گسترش یافته می‌باشد. مختصات بی‌بعد شده محور y به صورت تابعی از شعاع سانتریفیوژ (a) تعریف شده است. اعداد بی‌بعد شده در معادله به صورت $B = Re S^{\frac{1}{2}} / 4A^{\frac{1}{2}}$ ، $Re = \rho_w \Omega a^2 / \mu$ ، $S = 1 + Pr A^T (\gamma - 1) / 2\gamma$ ، $A^T = (a\Omega)^T / 2RT_0$ ، $Pr = c_p \mu / k$ و در این جا ρ_w چگالی گاز در دیواره روتور، T_0 دمای میانگین گاز، R ثابت جهانی گازها، Ω سرعت چرخش روتور و μ ، c_p ، γ به ترتیب ویسکوزیته گاز، گرمای ویژه در فشار ثابت و نسبت گرمای ویژه در فشار ثابت به حجم ثابت می‌باشد. هم‌چنین معادله انساگر- پنیکک با روابط زیر گسسته شده است:

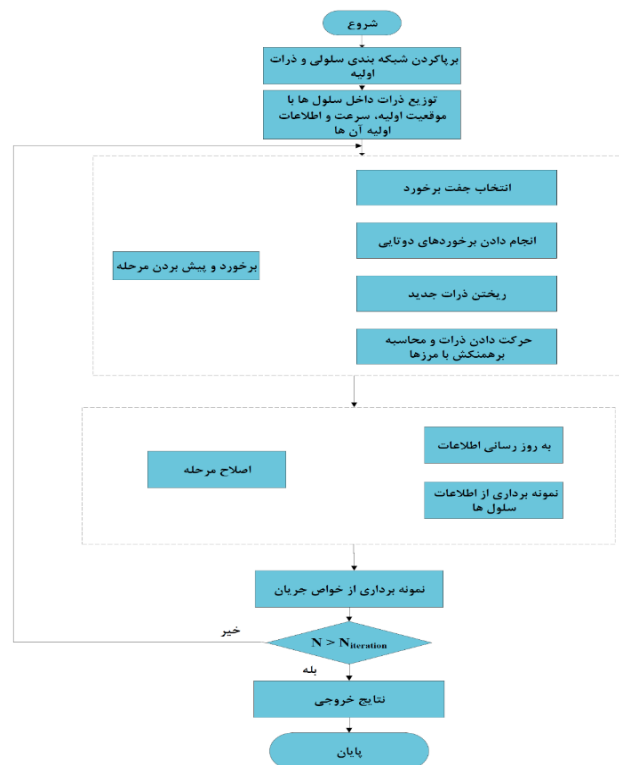
$$\frac{\partial X}{\partial x} \Big|_j \cong \frac{X_{i+1}^j - X_{i-1}^j}{2h} \quad (8)$$

$$\frac{\partial^2 X}{\partial x^2} \Big|_j \cong \frac{X_{i+1}^j - 2X_i^j + X_{i-1}^j}{h^2} \quad (9)$$

$$\frac{\partial}{\partial x} \left(e^x \frac{\partial x^T}{\partial x^T} \right) \Big|_j = (e^{x_{i+1}} x_{i+T}^j - 2e^{x_{i+1}} x_{i+1}^j + e^{x_{i+1}} - e^{x_{i-1}}) X_{i+T}^j + 2e^{x_{i-1}} x_{i-1}^j - e^{x_{i-1}} x_{i-2}^j) / 2h^T \quad (10)$$

با توجه به این که معادلات و شرایط مرزی دارای مشتق‌های مرتبه بالایی هستند، در حل این معادلات از سه نقطه اضافی کمکی در راستای شعاعی در هر طرف و یک نقطه اضافی در بالا و پایین استفاده شده است. برای حل معادله انساگر- پنیکک ناهمگن از روش تفاضل محدود استفاده شده است. این معادله دارای درجه ۶ در راستای شعاع و درجه ۲ در راستای ارتفاع است، لذا دارای ۸ شرط مرزی می‌باشد. اگر فرض کنیم فاصله بین نقاط در راستای شعاعی به طول h و در راستای ارتفاع به طول t و i ، j ، t نشان‌دهنده مکان نقطه‌ی موردنظر در شبکه‌بندی دوبعدی باشند، در این صورت سمت چپ رابطه ۶ را می‌توان به صورت زیر نوشت:

$$\begin{aligned} & \frac{\partial^T}{\partial x^T} \left(e^x \frac{\partial^T}{\partial x^T} \left(\frac{\partial X^T}{\partial x^T} \right) \right) \Big|_j \\ & + B^T \frac{\partial X^T}{\partial y^T} \Big|_j \cong \frac{1}{h^T} \left\{ e^{x_{i+1}+x_{i+T}} x_{i+T}^j \right. \\ & - 2(e^{x_{i+1}+x_{i+1}} + e^{x_{i+1}+x_{i+T}} + e^{x_{i+1}}) X_{i+T}^j \\ & + (e^{x_{i+1}+x_{i+T}} + 2e^{x_{i+1}} + e^{x_i+x_{i+1}} + e^{x_{i-1}+x_{i+1}} + 2e^{x_{i+1}} + e^{x_{i+1}}) X_{i+1}^j \\ & \left. - 2(e^{x_{i+1}} + e^{x_i+x_{i+1}} + e^{x_{i-1}+x_{i+1}} + e^{x_{i-1}} + e^{x_i+x_{i+1}} + 2e^{x_{i+1}} + e^{x_{i-1}+x_{i+1}}) X_i^j \right\} \end{aligned}$$



شکل ۱. الگوریتم روش DSMC

به‌طور کلی روش DSMC به مراحل زیر تقسیم می‌شود:

- ۱- مقداردهی اولیه
- ۲- شبکه‌بندی ناحیه محاسباتی
- ۳- حرکت دادن ذرات و برخورد با سطح
- ۴- برخورد ذرات با یکدیگر
- ۵- نمونه‌گیری
- ۶- برگشت به مرحله سوم.

۲.۲ روش تفاضل محدود برای ناحیه پیوسته

معادله دیفرانسیل انساگر- پنیکک برای حل دوبعدی رفتار گاز حاکم در ناحیه پیوسته سانتریفیوژ گازی مناسب است [۱۰-۱۳]. از جمله مزایای این معادله سرعت حل بالای آن می‌باشد که در مسایل مدل‌سازی می‌توان از آن استفاده کرد. برای تحلیل ناحیه پیوسته در این مقاله، از معادلات انساگر- پنیکک ناهمگن استفاده شده است. این معادلات به صورت زیر می‌باشند (برای جزئیات بیشتر تر به مراجع [۱۰-۱۱] مراجعه شود):

$$\begin{aligned} & (e^x (e^x X_{xx})_{xx})_{xx} + B^T X_{yy} = F(x, y); \\ & \circ \langle x \rangle_T, \circ \langle y \rangle_T \end{aligned} \quad (6)$$

$$F(x, y) = -\frac{B^T}{4A^2} \int_x^{x_T} \int_{\xi}^{x_T} M_y d\xi' d\xi \quad (7)$$



Archive of SID

$$F(x, \eta) = \frac{-\pi \alpha^{\frac{1}{2}}}{A^{\frac{1}{2}}} \int_{A^{\frac{1}{2}}}^{\xi} \rho_{eq} w(x, \eta) dx \quad (14)$$

با جای گذاری تابع فوق در معادله نفوذ انساگر-کوهن و حل آن، غنای UF_6 -۲۳۵ در طول روتور و پارامترهای جداسازی درون روتور محاسبه شده است.

۳.۲ حل معادله نفوذ و محاسبه پارامترهای جداسازی

معادله نفوذ دو بعدی در مقالات مختلف به صورت زیر بیان شده است [۷، ۱۸، ۱۹]:

$$\rho_{eq} w \frac{\partial X}{\partial z} = \frac{\rho D}{r} \frac{\partial}{\partial r} \left[r \frac{\partial X}{\partial r} + \frac{\Delta M \Omega^2}{RT_{eq}} r^2 X (1-X) \right] + \rho D \frac{\partial^2 X}{\partial z^2} \quad (15)$$

در این رابطه، X غنای جزء مطلوب، D ضریب نفوذ دوتایی، ΔM اختلاف جرم مولکولی UF_6 -۲۳۵ و UF_6 -۲۳۸، w' سرعت محوری گاز، T_{eq} دمای گاز و R ثابت جهانی گازها می‌باشد. برای حل معادله فوق، دو شرط مرزی در راستای شعاع و دو شرط مرزی در راستای محور مورد نیاز است. عدم انتقال جرم شعاعی بر روی دیواره، عدم انتقال جرم شعاعی در مرز لایه استوارتسون، عدم تغییر غلظت در انتهای محفظه جدایش و عدم تغییر غلظت در ابتدای محفظه جدایش به ترتیب به عنوان شروط مرزی برای حل معادله نفوذ با روابط زیر در نظر گرفته شده است [۷].

$$\left[\frac{\partial X}{\partial r} + \frac{\Delta M \Omega^2}{RT_{eq}} r X (1-X) \right]_{r=r_w} = 0 \quad (16)$$

$$\left[\frac{\partial X}{\partial r} + \frac{\Delta M \Omega^2}{RT_{eq}} r X (1-X) \right]_{r=r_s} = 0 \quad (17)$$

$$\left(\frac{\partial X}{\partial z} \right)_{z=Z} = 0 \quad (18)$$

$$\left(\frac{\partial X}{\partial z} \right)_{z=0} = 0 \quad (19)$$

حل معادله توزیع غلظت با شرایط مرزی مذکور توسط انساگر و کهن پیشنهاد شد. تابع غلظت بخش غنی‌سازی در حل انساگر-کهن با تعریف کمیت‌های بدون بعد، به فرم زیر ارائه شده است [۷]:

$$\frac{dY}{d\eta} = g_p(\eta) [Y(1-Y) - \gamma_p(\eta) P(Y_p - Y)] \quad (20)$$

$$\begin{aligned} & + (e^{x_{i-1}+x_i} + \epsilon e^{x_{i-1}} + e^{x_{i-1}+x_{i-1}} + e^{x_i+x_{i+1}} + \epsilon e^{x_i} + \epsilon e^{x_{i-1}+x_i}) X_{i-1}^j \\ & - 2(e^{x_{i-1}+x_i} + e^{x_{i-1}} + e^{x_{i-1}+x_{i-1}}) X_{i-2}^j + e^{x_{i-1}+x_{i-1}} X_{i-2}^j \} \\ & + \frac{B^2}{t^2} (X_i^{j+1} - 2X_i^j + X_i^{j-1}) \end{aligned} \quad (11)$$

گانه‌برگر و همکارانش فرض کردند تابع چشمه جرمی (M) به شکل تابع گوسی^۱ باشد [۱۰].

$$M = S e^{(-a((x'-x_s)^2 + (y'-y_s)^2))} \quad (12)$$

در رابطه فوق x_s و y_s محل مرکز چشمه است و x' ، y' به ترتیب به مختصات شعاع و ارتفاع اشاره دارند. مقدار α طوری در نظر گرفته می‌شود که در دایره‌ای به شعاع یک $(x'-x_s)^2 + (y'-y_s)^2 = 1$ ، دارای مقدار ثابت S_0 برابر 10^{-6} باشد. مقدار S_0 نیز به مقدار ورود خوراک بستگی دارد. اگر فرض کنیم $\iiint M dV = 1$ ، مقدار S_0 برابر $4/39$ به دست می‌آید.

$$\begin{aligned} F(x', y') &= \frac{B^2 \sqrt{\alpha \pi S_0}}{4A^2} (y' - y_s)_e^{(-a(y'-y_s)^2)} \\ & [(x - x_s) E(x_T - x_s) - (x - x_s) E(x - x_s) \\ & + \frac{1}{\sqrt{\alpha \pi}} [e^{(-a((x_T - x_s)^2))} - e^{(-a((x - x_s)^2))}]] \end{aligned} \quad (13)$$

تاکنون پژوهشگران چشمه‌های فرضی مختلفی برای ارتباط ناحیه رقیق و پیوسته پیشنهاد داده‌اند [۱۵-۱۶]. در این پژوهش، چشمه دقیق جرمی با روش DSMC محاسبه شده است و در معادلات انساگر ناهمگن مورد استفاده قرار گرفته است. با استفاده از روش DSMC، ناحیه رقیق شبیه‌سازی شده و اثر خوراک در مرز دو ناحیه به صورت چشمه جرمی محاسبه شده است. با حل معادله انساگر-پنکیک ناهمگن خطوط جریان حاصل از چشمه جرمی DSMC و چشمه جرمی فرضی گانه‌برگر و همکارانش مقایسه شده است. هم‌چنین چشمه جرمی حاصل از حضور گاز سبک هیدروژن فلوراید در خوراک به صورت یک مخلوط دو جزئی ($Z_{HF}=0.03$ و $Z_{UF_6}=0.97$)، ($Z_{HF}=0.07$ و $Z_{UF_6}=0.93$) و ($Z_{HF}=0.1$ و $Z_{UF_6}=0.9$) در مرز دو ناحیه محاسبه شده و با حل معادله انساگر-پنکیک ناهمگن با روش تفاضل محدود، تابع جریان مناسب از رابطه زیر محاسبه شده است:

1. Gaussian Function



توان جداسازی برای یک المان جداسازی برحسب تابع ارزش به صورت زیر است [۱۷]:

$$\delta U = W (\gamma X_w - 1) \ln \frac{X_w}{1 - X_w} + P (\gamma Y_p - 1) \ln \frac{Y_p}{1 - Y_p} - F (\gamma Z_f - 1) \ln \frac{Z_f}{1 - Z_f} \quad (27)$$

۳. نتایج

در این مقاله فرض شده است که استوانه‌ای چرخان با سرعت خطی ۶۹۰ m/s و با شعاع ۹ cm در ناحیه خلأ قرار دارد و گاز UF_۶ با دمای ۳۰۰ K و دبی ۲۰ mg/s از وسط استوانه به داخل سانتریفیوژ وارد می‌شود. در این صورت می‌توان استوانه را در دو بعد شعاع و ارتفاع شبیه‌سازی کرد. شعاع مولکول ۵/۵ آنگسترم در نظر گرفته شده است. مولکول‌ها در سیستم شبکه‌بندی با توزیع نرمال، توزیع شده‌اند. سرعت اولیه مولکول‌ها بر اساس توزیع تعادلی ماکسولین انتخاب شده است. مدل برخورد مولکول‌ها بر اساس مدل کره سخت متغیر (VHS) با روش DSMC به دست آمده است [۱۷].

برای محاسبه چشمه دقیق جرمی در مرز دو ناحیه، باید توزیع فراوانی ذرات در مرز دو ناحیه محاسبه شود. برای این منظور می‌بایست موقعیت ذرات بعد از خارج شدن از خوراک تا رسیدن به ناحیه پیوسته محاسبه شود. از آنجا که سرعت شعاعی جریان گاز در محور (ورود خوراک به ناحیه محاسباتی) در حدود ۱۵۰ m/s می‌باشد، بنابراین زمان رسیدن به مرز دو ناحیه ۰/۶ ms است. شکل ۲ موقعیت ذرات را پس از ۰/۶ ms در جریان ورودی نشان می‌دهد.

با داشتن موقعیت ذرات در مرز دو ناحیه، توزیع فراوانی ذرات چشمه جرمی فرضی گانزبرگر و همکارانش و چشمه جرمی حاصل از روش DSMC به ترتیب در شکل‌های ۳ الف و ۳ ب ترسیم شده است.

با ایجاد برش‌های افقی از نمودار توزیع فراوانی، کانتور توزیع فراوانی ذرات حاصل از چشمه جرمی فرضی گانزبرگر و همکارانش و روش DSMC به ترتیب در شکل‌های ۴ الف و ۴ ب ترسیم شده است.

در رابطه ۲۰، Y غنای جزء مطلوب در بخش غنی‌سازی می‌باشد. پارامترهای $g_p(\eta)$ و $\gamma_p(\eta)$ از به صورت زیر محاسبه شده است:

$$g_p(\eta) = \gamma \left(\frac{\Delta M}{M} \right) \left(\frac{Z}{r_w} \right) \int_0^{A^+} [F(x, \eta) - Pe^{-x}] dx / ((2\pi\rho\alpha D) + \frac{1}{2\pi\rho r_w DA^+}) \int_0^{A^+} ([F(x, \eta) - Pe^{-x}] [F(x, \eta) - P(1 - \frac{x}{A^+})]) / (1 - \frac{x}{A^+}) dx \quad (21)$$

$$\gamma_p(\eta) = \left\{ \left(\frac{\Delta M}{M} \right) \int_0^{A^+} [F(x, \eta) - Pe^{-x}] dx \right\}^{-1} \quad (22)$$

تابع غلظت بخش تهی‌سازی در حل انساکر-کهن به فرم زیر ارائه شده است.

$$\frac{dX}{d\eta} = g_w(\eta) [X(1-X) - \gamma_w(\eta)W(X - X_w)] \quad (23)$$

که در آن X غنای جزء مطلوب در بخش تهی‌سازی می‌باشد. در این رابطه پارامترهای بدون بعد $g_w(\eta)$ و $\gamma_w(\eta)$ از معادلات زیر محاسبه شده است.

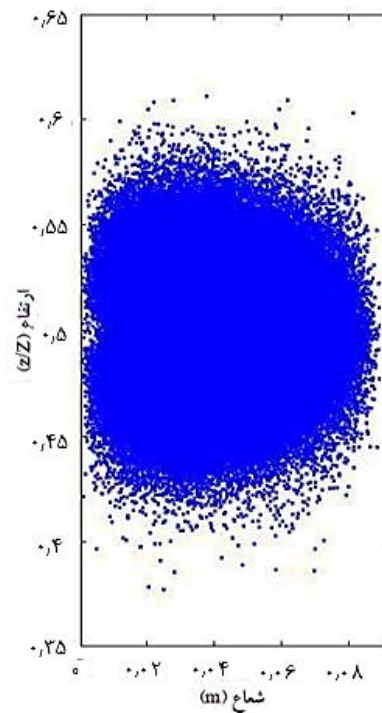
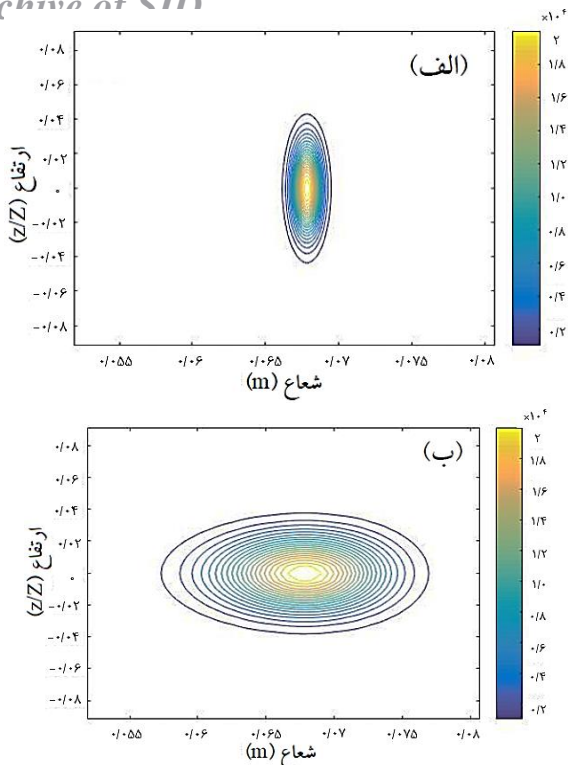
$$g_w(\eta) = \gamma \left(\frac{\Delta M}{M} \right) \left(\frac{Z}{r_w} \right) \int_0^{A^+} [F(x, \eta) - Pe^{-x}] dx / ((2\pi\rho\alpha D) + \frac{1}{2\pi\rho r_w DA^+}) \int_0^{A^+} ([F(x, \eta) - Pe^{-x}] [F(x, \eta) - (-W)(1 - \frac{x}{A^+})]) / (1 - \frac{x}{A^+}) dx \quad (24)$$

$$\gamma_w(\eta) = \left\{ \left(\frac{\Delta M}{M} \right) \int_0^{A^+} [F(x, \eta) - (-W)e^{-x}] dx \right\}^{-1} \quad (25)$$

در روابط فوق X_w ، Y_p و Z_f به ترتیب جزء مطلوب در پسماند، محصول و خوراک می‌باشند. فاکتور جداسازی، غنی‌سازی و تهی‌سازی به ترتیب با روابط زیر محاسبه شده است:

$$\alpha = \frac{Y_p / (1 - Y_p)}{X_w / (1 - X_w)} \quad \beta = \frac{Y_p / (1 - Y_p)}{Z_f / (1 - Z_f)} \quad \gamma = \frac{Z_f / (1 - Z_f)}{X_w / (1 - X_w)} \quad (26)$$





شکل ۲. موقعیت ذرات پس از ۰٫۶ ms در خوراک ورودی.

شکل ۴. برش افقی از تابع فراوانی (الف) گانزبرگر و همکارانش (ب) روش DSMC

کانتور ایجاد شده به صورت تابع گوسی می‌باشد که می‌توان با رابطه زیر معرفی نمود:

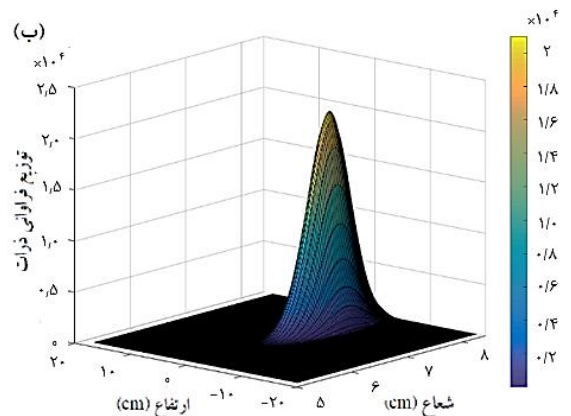
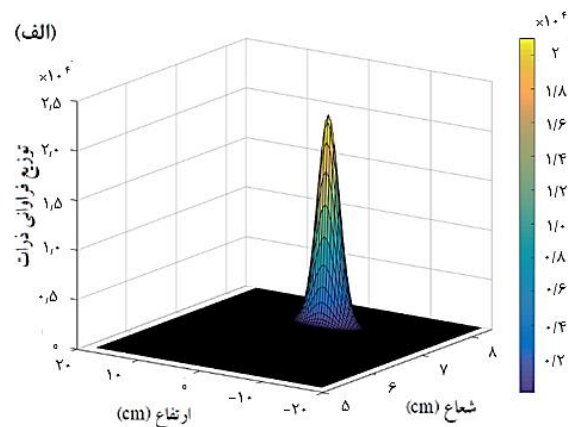
$$M_0 = S_0 e^{-(\alpha_1(x-x_s)^2 + \alpha_2(y-y_s)^2)} \quad (28)$$

در رابطه فوق M_0 چشمه جرمی با روش DSMC می‌باشد. مطابق شکل ۳، مقدار S_0 ارتفاع قله می‌باشد که با توجه به مقدار گازی که در واحد زمان وارد می‌شود، محاسبه می‌گردد. مقادیر α_1 و α_2 با توجه به شکل ۴ ب در جدول ۱ گزارش شده است. x_s و y_s مختصات محل ورود خوراک یا مرکز آن در نظر گرفته شده است.

با جای‌گذاری چشمه جرمی با روش DSMC در رابطه ۷، معادله نهایی به صورت زیر حاصل شده است:

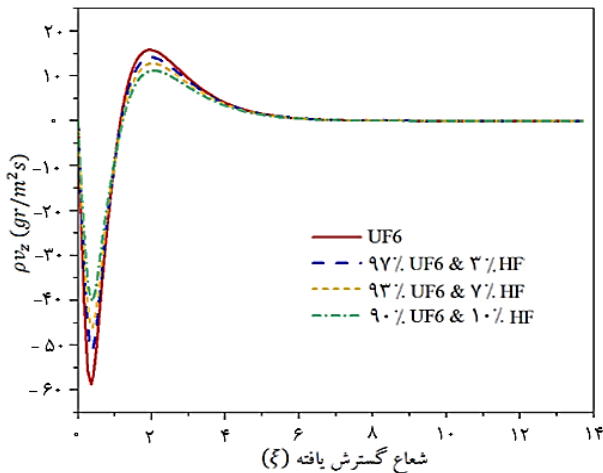
$$F(x, y) = -\frac{B^2 \sqrt{\alpha_1 \pi} S_0}{4A^2} (y - y_s) e^{-(\alpha_2 (y - y_s)^2)} [(x - x_s) E(x_T - x_s) - (x - x_s) E(x - x_s) + \frac{1}{\sqrt{\alpha_1 \pi}} \left[e^{-(\alpha_1 ((x_T - x_s)^2))} - e^{-(\alpha_1 ((x - x_s)^2))} \right]] \quad (29)$$

پس از محاسبه چشمه دقیق جرمی با روش DSMC در مرز دو ناحیه، سانتریفیوژی با مشخصات جدول ۲ در نظر گرفته شده است. این ماشین سانتریفیوژ یک ماشین پیشنهاد شده در مراجع است [۱۰، ۷، ۱۱، ۱۳].



شکل ۳. توزیع فراوانی ذرات (الف) گانزبرگر و همکارانش (ب) روش DSMC





شکل ۵. شار جرمی محوری برای یک مخلوط ($Z_{HF}=0.03$ و $Z_{UF_6}=0.97$)، ($Z_{HF}=0.07$ و $Z_{UF_6}=0.93$) و ($Z_{HF}=0.1$ و $Z_{UF_6}=0.9$)

با توجه به شکل ۵، شار جرمی محوری با افزایش مقدار گاز سبک کاهش یافته است. بنابراین حضور گاز سبک باعث کاهش جریان محوری در روتور می‌گردد که با افزایش مقدار گاز سبک شار جرمی محوری کاهش می‌یابد. با جای‌گذاری تابع جریان حاصل از معادله انساگر-پنیک ناهمگن در معادله نفوذ انساگر-کوهن، غلظت مخلوط در طول روتور حاصل شده است. هم‌چنین جزء UF_6 به صورت دو ایزوتوپ UF_6-235 و UF_6-238 در نظر گرفته شده است. شکل ۶ غلظت مخلوط در طول روتور را نشان می‌دهد.

با توجه به شکل ۶ برای محاسبه پروفایل غلظت مخلوط در طول روتور، جزء UF_6 به صورت دو ایزوتوپ UF_6-235 و UF_6-238 در نظر گرفته شده است. غلظت UF_6-235 با افزایش مقدار گاز سبک همراه خوراک در طول روتور در قسمت بالا (محصول) و در قسمت پایین (پسماند) روتور به ترتیب کاهش و افزایش یافته است. هم‌چنین محل خوراک بهینه برای مخلوط گازی مختلف یکسان می‌باشد. با محاسبه غنای جز مطلوب (UF_6-235) در محصول و پسماند با استفاده از روابط ۴۰ و ۴۱، پارامترهای جداسازی و توان جداسازی محاسبه شده است. در جدول ۴ پارامترهای جداسازی محاسبه شده برای مخلوط گازی ۱. ($Z_{HF}=0.00$ و $Z_{UF_6}=1.00$)، ۲. ($Z_{HF}=0.03$ و $Z_{UF_6}=0.97$)، ۳. ($Z_{HF}=0.07$ و $Z_{UF_6}=0.93$) و ۴. ($Z_{HF}=0.1$ و $Z_{UF_6}=0.9$) گزارش شده است.

جهت بررسی تأثیر حضور گاز سبک به همراه خوراک، ترکیب مخلوط دو جزئی ($Z_{HF}=0.03$ و $Z_{UF_6}=0.97$)، ($Z_{HF}=0.07$ و $Z_{UF_6}=0.93$) و ($Z_{HF}=0.1$ و $Z_{UF_6}=0.9$) در نظر گرفته شده است. پارامترهای تابع گوسی برای مقادیر مختلف گاز سبک هیدروژن فلوراید همراه خوراک در جدول ۳ ارائه شده است. با محاسبه چشمه جرمی برای یک مخلوط دو جزئی ($Z_{HF}=0.03$ و $Z_{UF_6}=0.97$)، ($Z_{HF}=0.07$ و $Z_{UF_6}=0.93$) و ($Z_{HF}=0.1$ و $Z_{UF_6}=0.9$) در مرز دو ناحیه و جای‌گذاری در معادله انساگر-پنیک ناهمگن و حل آن با روش تفاضل محدود، شار جرمی محوری محاسبه شده است. شکل ۵ شار جرمی محوری مخلوط را نشان می‌دهد.

جدول ۱. مشخصات چشمه جرمی

شماره	نوع گاز	چشمه جرمی	α_1	α_2	S_0
۱	UF_6	گازبرگر و همکارانش	۱۳/۸۱	۱۳/۸۱	2.1×10^4
۲	UF_6	DSMC	۰/۴	۱۸	2.1×10^4

جدول ۲. مشخصات سانترفیوژ فرضی

کمیت	مقدار
طول	۳/۳۹۳ متر
شعاع	۹/۱۴۵ سانتی‌متر
سرعت خطی روتور	۷۰۰ متر بر ثانیه
دبی خوراک	۱۰۰ گرم بر ساعت
برش	۰/۴
فشار دیواره	۱۰۰ تور
دمای متوسط	۳۰۰ کلوین
گرادیان دمای دیواره	۱ کلوین بر متر

جدول ۳. پارامترهای تابع گوسی برای مخلوط گازی با روش DSMC

شماره	نوع گاز	α_1	α_2	S_0
۱	$Z_{HF}=0.03$ و $Z_{UF_6}=0.97$	۰/۱۹	۳۳	1.91×10^4
۲	$Z_{HF}=0.07$ و $Z_{UF_6}=0.93$	۰/۰۹	۱۵	1.82×10^4
۳	$Z_{HF}=0.1$ و $Z_{UF_6}=0.90$	۰/۰۹	۲۷	1.73×10^4

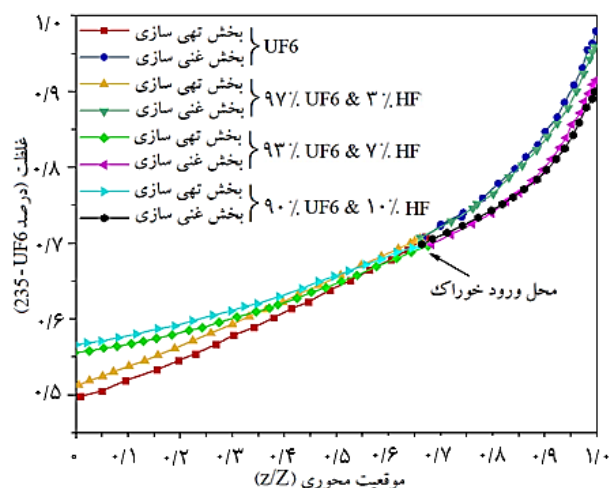


Archive of SID

مورد بررسی قرار گرفت. نتایج نشان داد که افزایش میزان گاز سبک هیدروژن فلوراید تا ۱۰ درصد همراه خوراک باعث کاهش شار جرمی محوری می‌گردد. افزایش مقدار گاز سبک هیدروژن فلوراید همراه خوراک باعث شد غنای جزء مطلوب در محصول و پسماند به ترتیب کاهش و افزایش یابد. هم‌چنین افزایش حضور گاز سبک هیدروژن فلوراید در خوراک باعث کاهش توان جداسازی و فاکتور جداسازی گردید. بنابراین با استفاده از روش DSMC به کار رفته در این مقاله، ضمن استفاده از روش کاهش خطای شبیه‌سازی در ناحیه رقیق، رفتار گاز سبک در تمام نواحی ماشین سانتریفیوژ مورد بررسی قرار گرفت.

مراجع

1. A. Norouzi, et al, *Parameters optimization of a counter-current cascade based on using a real coded genetic algorithm*, *Separation Science and Technology*, **46 (14)**, 2223–2230 (2011).
2. J. Safdari, A. Noroozi, R. Toumari, *Using a real coded PSO algorithm in the design of a multi-component countercurrent cascade*, *Separation Science and Technology*, **52 (18)**, 2855-2862 (2017).
3. V.D. Borisevich, et al, *On ideal and optimum cascades of gas centrifuges with variable overall separation factors*, *Chemical Engineering Science*, **116 (6)**, 465–472 (2014).
4. K. Cohen, *The theory of isotope separation as applied to the large scale production of U235*, *McGraw-Hill*, 103-125 (1951).
5. L.D. Cloutman, R.A. Gentry, *Numerical simulation of the countercurrent flow in a gas centrifuge*, *Los Alamos Scientific Laboratory Rep. LA-UR-81-1821*, Los Alamos (1981).
6. Soubbaramayer, *Centrifugation*, *Applied Physics*, **35**, 183-244 (1979).
7. D.R. Olander, *The theory of uranium enrichment by the gas centrifuge*, *Progress in Nuclear Energy*, **8**, 1-33 (1981).
8. M.D. Gunzburger, H.G. Wood, *A finite element method for the Onsager pancake equation*, *Computer Methods in Applied Mechanics and Engineering*, **31**, 43–59 (1982).
9. H.G. Wood, J.B. Morton, *Onsager's pancake approximation for the fluid dynamics of a gas centrifuge*, *Journal of Fluid Mechanics*, **101**, 1-31 (1980).



شکل ۶. غلظت مخلوط گازی ($Z_{HF}=0.03$ و $Z_{UF_6}=0.97$)، ($Z_{HF}=0.07$ و $Z_{UF_6}=0.93$) و ($Z_{HF}=0.1$ و $Z_{UF_6}=0.9$) در طول روتور.

جدول ۴. پارامترهای جداسازی برای مخلوط گازی

نوع گاز	غنای جزء مطلوب در محصول (Y_p)	غنای جزء مطلوب در پسماند (X_w)	فاکتور جداسازی (α)	ضریب غنی‌سازی (β)	توان جداسازی (kg UF ₆ SWU/y)
۱	۰.۰۰۹۸	۰.۰۰۵۰	۱.۹۹۶۱	۱.۴۰۲۸	۲۳.۷۸۶۲
۲	۰.۰۰۹۶	۰.۰۰۵۱	۱.۸۹۷۷	۱.۳۷۴۳	۲۱.۱۶۹۹
۳	۰.۰۰۹۲	۰.۰۰۵۶	۱.۶۷۱۳	۱.۳۱۰۳	۱۲.۸۹۷۸
۴	۰.۰۰۹۰	۰.۰۰۵۷	۱.۶۱۲۹	۱.۲۸۸۴	۱۱.۶۰۴۶

با توجه به جدول ۴، با افزایش مقدار گاز سبک هیدروژن فلوراید همراه گاز هگزافلوراید اورانیوم، مقدار غنای جزء مطلوب در محصول و پسماند به ترتیب کاهش و افزایش یافته است. فاکتور جداسازی و ضریب غنی‌سازی نیز با افزایش مقدار گاز سبک کاهش یافته است. هم‌چنین با توجه به جدول ۴، مقدار توان جداسازی با افزایش مقدار گاز سبک کاهش یافته است.

۴. بحث و نتیجه‌گیری

ناحیه گاز رقیق و قسمتی از ناحیه پیوسته به عنوان ناحیه محاسباتی برای تعیین چشمه جرمی در نظر گرفته شد. با استفاده از یک شرط مرزی جدید، چشمه جرمی در محل اتصال دو ناحیه رقیق و پیوسته با روش DSMC محاسبه و با چشمه جرمی فرضی گانزبرگر و همکارانش مقایسه شد. هم‌چنین اثر حضور مقادیر مختلف گاز سبک هیدروژن فلوراید همراه با گاز هگزافلوراید اورانیوم در خوراک بر چشمه جرمی در مرز دو ناحیه



10. M.D. Gunzburger, H.G. Wood, J.A. Jordan, *A finite element method for gas centrifuge flow problems*, *Journal on Scientific and Statistical Computing*, **5**, 78-94 (1984).
11. S. Zeng, H.G. Wood, *Analytical solution of Onsager's Pancake equation with mass sources and sinks*, *Separation Science and Technology*, **50** (4), 611-617 (2015).
12. S. Pradhan, V. Kumaran, *The generalized Onsager model for the secondary flow in a high-speed rotating cylinder*, *Journal of Fluid Mechanics*, **686**, 140-142 (2011).
13. V. Kumaran, S. Pradhan, *The generalized Onsager model for a binary gas mixture*, *Journal of Fluid Mechanics*, **753**, 307-359 (2014).
14. P. Roblin, F. Doneddu, *Direct Monte-Carlo simulations in a gas centrifuge*, *Department Des Precedes d'Enrichissement*, 196-170 (2001).
15. H.G. Wood, *Analysis of feed effects on a single-stage gas centrifuge cascade*, *Separation Science and Technology*, **30** (13), 2631-2657 (1995).
16. E. Ratz, *One-Stage enrichment with centrifuges*, *Proceedings of the sixth workshop on gases in strong rotation*, Tokyo, 621-654 (1985).
17. G.A. Bird, *Molecular Gas Dynamics and the Direct Simulation of Gas Flows*, *Oxford Univ. Press, New York* (1994).
18. D.R. Olander, *Technical basis of the gas centrifuge*, *Advances in Nuclear Science & Technology*, **6**, 105-174 (1972).
19. W.H. Furry, R.C. Jones, L. Onsager, *On the theory of isotope separation by thermal diffusion*, *Physical Review*, **55**, 1083-1095 (1939).

COPYRIGHTS

©2021 The author(s). This is an open access article distributed under the terms of the Creative Commons Attribution (CC BY 4.0), which permits unrestricted use, distribution, and reproduction in any medium, as long as the original authors and source are cited. No permission is required from the authors or the publishers.



استناد به این مقاله

مسعود خواجه نوری، سید جابر صفدری، علی حقیقی اصل، علی نوروزی (۱۴۰۰)، مدل سازی و شبیه سازی رفتار گاز داخل یک روتور سانتریفیوژ گازی در حضور گاز سبک هیدروژن فلوراید با استفاده از روش ترکیبی DSMC و انساگر-پنکیک، ۹۸، ۴۴-۵۳

DOI: 10.24200/nst.2021.1314

Url: https://jonsat.nstri.ir/article_1314.html